

การประยุกต์ใช้โครงข่ายไบโ פרาทเที่ยมสำหรับวิเคราะห์กำลังรับน้ำหนักเสาเข็มในชั้นดินกรุงเทพฯ

นายอาชว์ นิยมไทย

ศูนย์วิทยทรัพยากร จุฬลงกรณ์มหาวิทยาลัย

วิทยานิพนธ์เป็นส่วนหนึ่งของการศึกษาตามหลักสูตรปริญญาวิศวกรรมศาสตรมหาบัณฑิต

สาขาวิชาชีวิศวกรรมโยธา ภาควิชาชีวิศวกรรมโยธา

คณะวิศวกรรมศาสตร์ จุฬลงกรณ์มหาวิทยาลัย

ปีการศึกษา 2546

ISBN 974-17-4520-6

ลิขสิทธิ์ของจุฬลงกรณ์มหาวิทยาลัย

AN APPLICATION OF ARTIFICIAL NEURAL NETWORK FOR ANALYZING PILE CAPACITY IN
BANGKOK SUBSOILS

Mr. Arch Niyomthai

ศูนย์วิทยทรัพยากร
จุฬาลงกรณ์มหาวิทยาลัย
A Thesis Submitted in Partial Fulfillment of the Requirements
for the Degree of Master of Engineering in Civil Engineering

Department of Civil Engineering

Faculty of Engineering

Chulalongkorn University

Academic Year 2003

ISBN 974-17-4520-6

หัวข้อวิทยานิพนธ์

การประยุกต์ใช้โครงข่ายไบโภสท์เพื่อประเมินสำหรับเคราะห์กำลังรับ
น้ำหนักของเสาเข็มในชั้นดินกรุงเทพฯ

โดย

นายอาทิตย์ นิยมไทย

สาขาวิชา

วิศวกรรมโยธา

อาจารย์ที่ปรึกษา

ผู้ช่วยศาสตราจารย์ ดร.บุญชัย อุกฤษณ์

คณะกรรมการศาสตร์ จุฬาลงกรณ์มหาวิทยาลัย อนุมัติให้นับวิทยานิพนธ์ฉบับนี้เป็นส่วน
หนึ่งของการศึกษาตามหลักสูตรปริญญาบัณฑิต

..... คณบดีคณะวิศวกรรมศาสตร์

(ศาสตราจารย์ ดร.ดิเรก ลาวณย์ศิริ)

คณะกรรมการสอบวิทยานิพนธ์

..... ประธานกรรมการ

(รองศาสตราจารย์ ดร.วันชัย เทพรักษ์)

..... อาจารย์ที่ปรึกษา

(ผู้ช่วยศาสตราจารย์ ดร.บุญชัย อุกฤษณ์)

..... อาจารย์ที่ปรึกษาร่วม

(อาจารย์ ดร.สิริวัตร บุญญาภิเษก)

..... กรรมการ

(ผู้ช่วยศาสตราจารย์ ดร.สุพจน์ เตชะรัตน์สกุล)

อาจารย์นิยมไวย : การประยุกต์ใช้โครงข่ายประสาทเทียมสำหรับวิเคราะห์กำลังรับน้ำหนักเสาเข็มในชั้นดินกรุงเทพฯ (AN APPLICATION OF ARTIFICIAL NEURAL NETWORK FOR ANALYZING PILE CAPACITY IN BANGKOK SUBSOILS) อ. ที่ปรึกษา : ผู้ช่วยศาสตราจารย์ ดร. บุญชัย อุกฤษณ์, 211 หน้า. ISBN : 974-17-4520-6

งานวิจัยนี้มีวัตถุประสงค์เพื่อประยุกต์ใช้แบบจำลองโครงข่ายประสาทเทียมสำหรับวิเคราะห์กำลังรับน้ำหนักของเสาเข็มตอกและเสาเข็มเจาะในกรุงเทพฯ และปริมณฑล

การวิจัยใช้ข้อมูลเสาเข็มทั้งเสาเข็มตอกและเสาเข็มเจาะจำนวน 282 ตัวอย่าง โดยรวมจากวิทยานิพนธ์และผลการทดสอบเสาเข็มจากบริษัทวิศวกรรมที่ปรึกษา ในระหว่าง พ.ศ. 2535-2545 มีข้อมูลเสาเข็มตอก 173 ตัวอย่างและข้อมูลเสาเข็มเจาะ 109 ตัวอย่าง โดยใช้ค่ากำลังรับน้ำหนักสูงสุดของเสาเข็มจากผลการทดสอบ ซึ่งหาได้จากการทดสอบถึงจุดวิกฤตหรือหาจากวิธีของ Mazurkiewicz ข้อมูลทั้งหมดแบ่งออกเป็น 3 ส่วน คือ ส่วนสำหรับสร้างแบบจำลอง ส่วนสำหรับทดสอบแบบจำลอง และส่วนสำหรับตรวจสอบความถูกต้องของแบบจำลอง เพื่อนำมาสร้าง ทดสอบ และเปรียบเทียบกับสูตรการคำนวณเสาเข็มในสนามและวิธีการคำนวณทางสถิติที่ใช้อยู่ในปัจจุบัน

วิทยานิพนธ์นี้ประกอบไปด้วย 2 แบบจำลองสำหรับเสาเข็มตอก และ 1 แบบจำลองสำหรับเสาเข็มเจาะ ตัวแปรด้านเข้าที่ใช้ในแบบจำลองมีจำนวน 8 ตัวแปรสำหรับเสาเข็มตอก และ 22 ตัวแปรสำหรับเสาเข็มเจาะซึ่งถูกเลือกจาก ลักษณะของชั้นดิน ลักษณะของทางกายภาพของตัวเสาเข็ม และปัจจัยจากวิธีการก่อสร้าง ในงานวิจัยพบว่า ความสามารถของแบบจำลองโครงข่ายประสาทเทียม ขึ้นอยู่กับจำนวนชั้นช่อง จำนวนหน่วยประสาทในชั้นช่อง จำนวนรอบการคำนวณ รูปแบบการเรียนรู้ (Back-Propagation, RPROP, Scaled Conjugate, Powell-Beale, Fletcher-Powell และ Polak-Ribiere) และค่า α ใน activation function โดยมีแบบจำลองที่ดีที่สุดซึ่งเลือกจาก RMSE ที่ต่ำที่สุด คือจำนวนของชั้นช่อง 2, จำนวนหน่วยประสาทในชั้นช่อง 20, รอบการคำนวณ 2000 รอบ $\alpha=0.9$ สำหรับเสาเข็มตอก (MDP1) และจำนวนชั้นช่อง 1 จำนวนหน่วยประสาทในชั้นช่อง 20 รอบการคำนวณ 2000 รอบ $\alpha=1.0$ สำหรับเสาเข็มเจาะ (MBP1)

ผลการทดสอบการวิเคราะห์กำลังรับน้ำหนักกับข้อมูลส่วนตัวของทดสอบความถูกต้องของแบบจำลองพบว่า แบบจำลองโครงข่ายประสาทเทียมสามารถทำได้ด้วยความแม่นยำ โดยให้ค่าผลการวิเคราะห์กำลังรับน้ำหนักของเสาเข็มที่มีความผิดพลาดโดยเฉลี่ยต่ำกว่า ($R^2=0.78$ สำหรับเสาเข็มตอก $R^2=0.92$ สำหรับเสาเข็มเจาะ) ค่าที่ได้จากการคำนวณโดยใช้สูตรการตอกเสาเข็ม ($R^2=0.24-0.64$) และการคำนวณแบบ static ของเสาเข็มเจาะ ($R^2=0.91$) ผลจากการวิจัยสรุปว่า แบบจำลองโครงข่ายประสาทเทียมสามารถใช้เป็นทางเลือกที่ดีกว่าในการวิเคราะห์กำลังรับน้ำหนักของเสาเข็ม โดยการนำไปใช้งานและค่าสัดส่วนความปลอดภัยขึ้นกับดุลพินิจของผู้ใช้งาน

| | | | |
|------------------|--------------------|---------------------------------|---------|
| ภาควิชา | วิศวกรรมโยธา | ลายมือชื่อนิสิต..... | ๐๗๑ ๗๗๘ |
| สาขาวิชา | วิศวกรรมโยธา | ลายมือชื่ออาจารย์ที่ปรึกษา..... | |
| ปีการศึกษา | 2546 | | |

4470658021: MAJOR CIVIL ENGINEERING

KEY WORD: PILE CAPACITY/ NEURAL NETWORK/ STATIC LOAD TEST

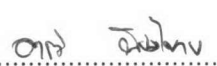
ARCH NIYOMTHAI : AN APPLICATION OF ARTIFICIAL NEURAL NETWORK FOR ANALYZING PILE CAPACITY IN BANGKOK SUBSOILS. THESIS ADVISOR : ASST. PROF. BOONCHAI UKRITCHON, Sc.D., 211 pp. ISBN:974-17-4520-6

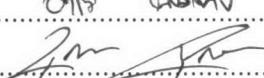
The purpose of this thesis is an application of artificial neural network (ANN) for analyzing pile capacity in Bangkok subsoils for both driven piles and bored piles.

The thesis considered driven pile and bored pile database, totalling 282 records. The database were compiled from past theses and geotechnical consultant firms during the year 2535 to 2545. There were 173 records for driven piles and 109 for bored piles. The ultimate loads were obtained from reported static capacity or using Mazurkiewicz's method. The entire records were divided into 3 parts: 1) testing set, 2) training set, 3) validation set. The objectives are to train, test and evaluate the neural network and make comparisons with pile driven formula and static calculation method.

There were 2 neural network models for driven pile, 1 model for bored pile. The driven pile model had 8 inputs whereas bored pile model had 22 inputs. Model inputs were selected from geological conditions, pile geometry and construction factors. The sensitivity analyses found that the prediction capability of the ANN model was depended on number of hidden nodes, hidden layers, epochs, learning type of ANN models (Back-Propagation, RPROP, Scaled Conjugate, Powell-Beale, Fletcher-Powell and Polak-Ribiere) and α value used in activation function. The best ANN model was selected from the one giving the minimum RMSE value. Therefore, the best ANN consisted of 2 hidden layers, 20 hidden nodes in each layer and 2000 epochs $\alpha=0.9$ for driven pile model (MDP1), 1 hidden layer, 20 hidden nodes and 2000 epochs $\alpha=1.0$ for bored pile model (MBP1).

The results of ANN model with validation records showed that the model can predict the ultimate pile capacity very accurate and efficient. The results had average errors of pile capacity ($R^2=0.78$ for driven pile and $R^2=0.92$ for bored pile) much less than those of the driven pile formula ($R^2=0.24-0.64$) and those of static calculation method for bored pile ($R^2=0.91$). In conclusion, the artificial neural network provides a better and more accurate alternative for predicting ultimate pile capacity in practice. However, the design load should consider suitable factor of safety with careful engineering judgment.

Department Civil Engineering Student's signature..... 

Field of study Civil Engineering Advisor's signature..... 

Academic year 2003

กิตติกรรมประกาศ

วิทยานิพนธ์ฉบับนี้สำเร็จลุล่วงไปได้ด้วยความช่วยเหลือ และเสียสละเวลาอันมีค่าจากอาจารย์ที่ปรึกษาวิทยานิพนธ์ ผู้ช่วยศาสตราจารย์ ดร.บุญชัย อุกฤษณ์ ที่กรุณายังคำปรึกษาตรวจสอบ และแก้ไขปรับปรุงข้อบกพร่องต่างๆ

ผู้วิจัยขอกราบขอบพระคุณ ดร.ธีรวัตร บุญญะสุ อาจารย์ที่ปรึกษาวิทยานิพนธ์ ร่วม ที่กรุณายังคำแนะนำ จนทำให้ผู้วิจัยทำมีความเข้าใจในวิทยานิพนธ์มากยิ่งขึ้น

นอกจากนี้ขอกราบขอบพระคุณ ดร.สุรชัยร์ สุวรรณสวัสดิ์ อาจารย์ภาควิชา วิศวกรรมโยธา สถาบันเทคโนโลยีพระจอมเกล้าเจ้าคุณทหารลาดกระบัง และ ดร.ธนาดล คงสมบูรณ์ อาจารย์ภาควิชาวิศวกรรมโยธา มหาวิทยาลัยเกษตรศาสตร์ ที่กรุณายังคำแนะนำ ทำให้ วิทยานิพนธ์นี้เสร็จสมบูรณ์มากยิ่งขึ้น

ผู้จัดทำขอกราบขอบพระคุณ คุณณัฐมนต์ กัมปนาณ พ. และเจ้าน้าที่บริษัทเอก ทีเอส เอ็นจิเนียริ่ง คอนซัลแทนท์จำกัด, คุณฟูเลิศ บริษัทอนเตอร์-คอนซัลท์จำกัด ที่ให้ความอนุเคราะห์ข้อมูลในการวิจัย และขอขอบคุณเพื่อนๆ รุ่นพี่ และบุคคลากรภาควิชาวิศวกรรมโยธา คณะวิศวกรรมศาสตร์ที่เดิมช่วยเหลือในการทำวิทยานิพนธ์ครั้งนี้

และเนื่องจากงานวิจัยนี้ สร้างหนึ่งได้รับเงินอุดหนุนการวิจัยของบันทึกวิทยาลัย จึงขอขอบพระคุณบันทึกวิทยาลัยไว้ ณ ที่นี้ด้วย

ท้ายนี้ผู้วิจัยขอขอบพระคุณบิดาและมารดาที่ให้กำลังใจผู้วิจัย และสนับสนุนด้าน การเงินจนสำเร็จการศึกษา

**ทุนวิทยทรัพยากร
จุฬาลงกรณ์มหาวิทยาลัย**

สารบัญ

หน้า

| | |
|---|----|
| บทคัดย่อภาษาไทย | ๑ |
| บทคัดย่อภาษาอังกฤษ | ๑ |
| กิตติกรรมประกาศ..... | ๙ |
| สารบัญ | ๊ |
| สารบัญตาราง..... | ก |
| สารบัญภาพ..... | ๗ |
| | |
| บทที่ 1 บทนำ | ๑ |
| 1.1 คำนำ | ๑ |
| 1.2 วัตถุประสงค์ของการวิจัย | ๒ |
| 1.3 ขอบเขตของงานวิจัย | ๒ |
| 1.4 ขั้นตอนการศึกษาและวิธีการดำเนินการวิจัย..... | ๒ |
| 1.5 ประโยชน์ที่คาดว่าจะได้รับจากการวิจัย..... | ๓ |
| | |
| บทที่ 2 ทฤษฎีและงานวิจัยที่เกี่ยวข้อง..... | ๔ |
| แนวคิดและทฤษฎีของการทำกำลังรับน้ำหนักเสาเข็ม..... | ๔ |
| 2.1 การคาดคะเนความสามารถการรับน้ำหนักบรรทุกของเสาเข็ม..... | ๔ |
| 2.2 วิธีสมดุลกลศาสตร์ (Static Method)..... | ๔ |
| 2.2.1 เสาเข็มในชั้นดินเหนียว..... | ๖ |
| 2.2.2 เสาเข็มในชั้นดินทราย..... | ๑๐ |
| 2.3 วิธีทางพลศาสตร์ (Dynamic Method)..... | ๑๕ |
| 2.3.1 ที่มาของสูตรการทดสอบเสาเข็ม..... | ๑๕ |
| 2.3.2 ที่มาโดยใช้หลักการของพลังงาน..... | ๑๗ |
| 2.3.3 สูตรการทดสอบเสาเข็ม..... | ๑๘ |
| 2.4 วิธีคาดคะเนจากผลการทดสอบ (Load test) | ๒๒ |
| 2.4.1 วิธีหาค่ากำลังรับน้ำหนักบรรทุกที่จุดพิบติจากการทดสอบ..... | ๒๒ |

| บทที่ | | หน้า |
|--|----|------|
| 2.5 วิธีใช้และผลการวิเคราะห์จาก CAPWAPC | 32 | |
| | | |
| บทที่ 3 แนวคิดและทฤษฎีของโครงข่ายใยประสาทเทียม | 36 | |
| 3.1 ระบบประสาทของสิ่งมีชีวิต..... | 37 | |
| 3.2 แบบจำลองโครงข่ายใยประสาทเทียม..... | 37 | |
| 3.3 ชนิดของแบบจำลองโครงข่ายใยประสาทเทียม..... | 41 | |
| 3.3.1 โครงสร้างแบบ feedforward..... | 41 | |
| 3.3.2 โครงสร้างแบบ recurrent..... | 44 | |
| 3.4 การเรียนรู้ของแบบจำลองโครงข่ายใยประสาทเทียม..... | 46 | |
| 3.4.1 การเรียนรู้แบบมีการควบคุม (supervised learning)..... | 47 | |
| 3.4.2 การเรียนรู้แบบไม่มีการควบคุม (unsupervised learning)..... | 47 | |
| 3.5 กระบวนการเรียนรู้แบบเพอร์เซปตรอน..... | 47 | |
| 3.6 กระบวนการเรียนรู้แบบเกรเดียนต์เดสเซนต์ (Gradient descent learning)..... | 48 | |
| 3.7 กระบวนการเรียนรู้แบบแพร่กระจายความผิดพลาดย้อนกลับ..... | 49 | |
| 3.8 จำนวนของชั้นช่องในแบบจำลองโครงข่ายใยประสาทเทียม..... | 54 | |
| 3.9 จำนวนของกลุ่มตัวอย่างที่ใช้ในแบบจำลอง..... | 55 | |
| 3.10 การสร้างความสัมพันธ์ของข้อมูลที่เกินจริง..... | 56 | |
| 3.10.1 เพิ่มปริมาณข้อมูลที่นำมาใช้สร้างแบบจำลอง..... | 56 | |
| 3.10.2 จำกัดจำนวนชั้นช่องและหน่วยประสาทในชั้นช่อง..... | 57 | |
| 3.10.3 จำกัดจำนวนรอบของการคำนวน..... | 57 | |
| | | |
| บทที่ 4 วิธีการทดสอบและวิจัย..... | 58 | |
| 4.1 ข้อมูลที่ใช้ในการวิเคราะห์..... | 58 | |
| 4.1.1 ลักษณะชั้นดินกรุงเทพ..... | 58 | |
| 4.1.2 การรวมรวมข้อมูลการทดสอบน้ำหนักบรรทุกของเส้าเข้ม..... | 59 | |
| 4.1.3 สร้างฐานข้อมูลรายละเอียด และการทดสอบของเส้าเข้ม..... | 60 | |
| 4.1.4 การแปลงผลการทดสอบเส้าเข้ม เพื่อหาค่ากำลังรับน้ำหนักบรรทุกเส้าเข้ม..... | 62 | |

| บทที่ | หน้า |
|---|---------|
| 4.2 วิธีดำเนินการวิจัย..... | 65 |
| 4.2.1 การพัฒนาแบบจำลองโครงข่ายไประสาทเทียม..... | 65 |
| 4.2.2 สร้างแบบจำลองโครงข่ายไประสาทเทียม..... | 70 |
| 4.2.3 ทดสอบแบบจำลอง..... | 71 |
| 4.2.4 ผลกระทบต่อความแม่นยำของแบบจำลองโครงข่ายไประสาทเทียม.. | 72 |
| 4.2.5 ผลการทดสอบแบบจำลอง..... | 72 |
| ก) แบบจำลองสำหรับเสาเข็มตอก..... | 72 |
| ข) แบบจำลองสำหรับเสาเข็มเจาะ | 96 |
| บทที่ 5 ผลการทดสอบและวิเคราะห์ผล..... | 122 |
| 5.1 การวิเคราะห์กำลังรับน้ำหนักของเสาเข็มด้วยแบบจำลอง โครงข่ายไประสาทเทียม..... | 122 |
| 5.1.1 แบบจำลองสำหรับวิเคราะห์หากำลังรับน้ำหนักของเสาเข็มตอก..... | 123 |
| 5.1.2 แบบจำลองสำหรับวิเคราะห์หากำลังรับน้ำหนักของเสาเข็มเจาะ..... | 123 |
| 5.2 วิเคราะห์ผลของแบบจำลองสำหรับเสาเข็มตอก..... | 124 |
| 5.2.1 การวิเคราะห์หากำลังรับน้ำหนักโดยใช้สูตรเสาเข็มตอก..... | 125 |
| 5.2.2 การวิเคราะห์หากำลังรับน้ำหนักโดยใช้แบบจำลอง โครงข่ายไประสาทเทียม..... | 128 |
| 5.2.3 เปรียบเทียบผลการทดสอบระหว่างแบบจำลอง โครงข่ายไประสาทกับสูตรเสาเข็มตอก..... | 131 |
| 5.3 วิเคราะห์ผลของแบบจำลองสำหรับเสาเข็มเจาะ..... | 134 |
| 5.3.1 การวิเคราะห์หากำลังรับน้ำหนักสำหรับเสาเข็มเจาะ โดยวิธีสมดุลย์ทางกลศาสตร์..... | 134 |
| 5.3.2 การวิเคราะห์หากำลังรับน้ำหนักโดยใช้แบบจำลอง โครงข่ายไประสาทเทียม..... | 135 |
| 5.3.3 เปรียบเทียบผลการทดสอบระหว่างแบบจำลองโครงข่ายไประสาท กับวิธีกำลังรับน้ำหนักของเสาเข็มแบบ static approach..... | 138 |

| | |
|---|------|
| บทที่ | หน้า |
| 5.4 แบบจำลองสำหรับเสาเข็มตอกโดยใช้ชั้นดิน..... | 139 |
| 5.4.1 การวิเคราะห์หากำลังรับน้ำหนักโดยใช้แบบจำลองโครงข่าย ไปประสาทเทียม..... | 161 |
| 5.4.2 เปรียบเทียบผลการทดสอบระหว่างแบบจำลองโครงข่ายไปประสาท กับสูตรเสาเข็มตอก..... | 162 |
| บทที่ 6 สรุปผลการวิจัยและข้อเสนอแนะ..... | 163 |
| 6.1 สรุปผลการวิจัย..... | 163 |
| 6.2 ข้อเสนอแนะสำหรับพัฒนาแบบจำลองโครงข่ายไปประสาทเทียมสำหรับวิเคราะห์ กำลังรับน้ำหนักของเสาเข็มตอกไปในอนาคต..... | 164 |
| 6.2.1 ข้อมูลที่ใช้ในแบบจำลอง..... | 164 |
| 6.2.2 กระบวนการเรียนรู้ของแบบจำลอง..... | 165 |
| รายการอ้างอิง..... | 166 |
| ภาคผนวก | 169 |
| ภาคผนวก ก..... | 170 |
| ภาคผนวก ข..... | 176 |
| ภาคผนวก ค..... | 184 |
| ภาคผนวก ง..... | 192 |
| ภาคผนวก จ..... | 199 |
| ภาคผนวก ฉ..... | 201 |
| ประวัติผู้เขียนวิทยานิพนธ์..... | 211 |

| ตาราง | หน้า |
|--|------|
| ตารางที่ 2.1 Adhesion factors สำหรับ bored piles ในชั้น Clay..... | 8 |
| ตารางที่ 2.2 ค่าออกแบบสำหรับ adhesion factor ในชั้น stiff cohesive soils..... | 9 |
| ตารางที่ 2.3 Coefficient of earth pressure (Ks) (Broms,1966)..... | 14 |
| ตารางที่ 2.4 แสดงค่า CAPWAPC Variables (CAPWAPC Manual, 1993)..... | 33 |
| ตารางที่ 4.1 แหล่งที่มาข้อมูลการทดสอบเสาเข็ม..... | 59 |
| ตารางที่ 4.2 จำนวนเสาเข็มแต่ละชนิดที่ใช้ในการวิจัย..... | 60 |
| ตารางที่ 4.3 วิธีการทดสอบเสาเข็ม..... | 60 |
| ตารางที่ 4.4 ชนิดของเสาเข็มตอก..... | 61 |
| ตารางที่ 4.5 ข้อมูลเสาเข็มตอก..... | 61 |
| ตารางที่ 4.6 ข้อมูลเสาเข็มเจาะ..... | 61 |
| ตารางที่ 4.7 การแบ่งกลุ่มของข้อมูล..... | 62 |
| ตารางที่ 4.8 พารามิเตอร์ที่ใช้สำหรับแบบจำลองเสาเข็มตอก..... | 66 |
| ตารางที่ 4.9 พารามิเตอร์ที่ใช้สำหรับแบบจำลองเสาเข็มเจาะ..... | 68 |
| ตารางที่ 4.10 ผลการทดสอบแบบจำลองสำหรับเสาเข็มตอก..... | 82 |
| ตารางที่ 4.11 ผลการทดสอบกระบวนการเรียนรู้ของแบบจำลองสำหรับเสาเข็มตอก..... | 89 |
| ตารางที่ 4.12 ปรับเปลี่ยนค่า α ของเอกติเวชันพังก์ชันของแบบจำลองสำหรับเสาเข็มตอก.... | 96 |
| ตารางที่ 4.13 ผลการทดสอบแบบจำลองสำหรับเสาเข็มเจาะ..... | 106 |
| ตารางที่ 4.14 ผลการทดสอบกระบวนการเรียนรู้ของแบบจำลองสำหรับเสาเข็มตอก..... | 110 |

| | |
|--|------|
| ตาราง | หน้า |
| ตารางที่ 4.15 ปรับเปลี่ยนค่า α ของแอกติเวชันฟังก์ชันของแบบจำลองสำหรับเสาเข็มเจาะ.... | 119 |
| ตารางที่ 4.16 แบบจำลองโครงข่ายไปรษณีย์ที่เหมาะสมที่สุด..... | 121 |
| ตารางที่ 5.1 ผลการทดสอบจากสูตรเสาเข็มตอก..... | 127 |
| ตารางที่ 5.2 ผลการทดสอบแบบจำลองสำหรับหากำลังรับน้ำหนักของเสาเข็มตอก..... | 129 |
| ตารางที่ 5.3 ค่าถ่วงน้ำหนักของแบบจำลองสำหรับหากำลังรับน้ำหนักของเสาเข็มตอก..... | 130 |
| ตารางที่ 5.4 ความสำคัญของแต่ละตัวแปรของแบบจำลองเทียบเป็น (%)..... | 131 |
| ตารางที่ 5.5 ผลการทดสอบหากำลังรับน้ำหนักของเสาเข็มตอก..... | 131 |
| ตารางที่ 5.6 งานวิจัยที่เกี่ยวกับแบบจำลองโครงสร้างไปรษณีย์ที่..... | 133 |
| ตารางที่ 5.7 ผลการทดสอบหากำลังรับน้ำหนักของเสาเข็มเจาะด้วยแบบจำลอง..... | 136 |
| ตารางที่ 5.8 ค่าถ่วงน้ำหนักของแบบจำลองสำหรับหากำลังรับน้ำหนักของเสาเข็มเจาะ..... | 137 |
| ตารางที่ 5.9 ความสำคัญของแต่ละตัวแปรของแบบจำลองเทียบเป็น (%)..... | 137 |
| ตารางที่ 5.10 ผลการทดสอบหากำลังรับน้ำหนักของเสาเข็มเจาะ..... | 138 |
| ตารางที่ 5.11 พารามิเตอร์ที่ใช้สำหรับแบบจำลองเสาเข็มตอก..... | 140 |
| ตารางที่ 5.12 ผลการทดสอบแบบจำลองสำหรับเสาเข็มตอก..... | 150 |
| ตารางที่ 5.13 ผลการทดสอบกระบวนการเรียนรู้ของแบบจำลองสำหรับเสาเข็มตอก..... | 154 |
| ตารางที่ 5.14 ปรับเปลี่ยนค่า α ของแอกติเวชันฟังก์ชันของแบบจำลองสำหรับเสาเข็มตอก... .. | 160 |
| ตารางที่ 5.15 ผลการทดสอบแบบจำลองสำหรับหากำลังรับน้ำหนักของเสาเข็มตอก..... | 162 |
| ตารางที่ 5.16 ผลการทดสอบหากำลังรับน้ำหนักของเสาเข็มตอก..... | 162 |
| ตารางที่ ก.1 ข้อมูลเสาเข็มตอกที่ใช้ในงานวิจัย..... | 171 |

| | |
|---|------|
| ตาราง | หน้า |
| ตารางที่ ข.1 ข้อมูลเสาเข็มเจาะที่ใช้ในงานวิจัย..... | 177 |
| ตารางที่ ค.1 ข้อมูลเสาเข็มตอกที่ใช้ในงานวิจัย..... | 185 |
| ตารางที่ จ.1 ผลการทดสอบหากำลังรับน้ำหนักของเสาเข็มตอก..... | 200 |
| ตารางที่ จ.2 ผลการทดสอบหากำลังรับน้ำหนักของเสาเข็มตอก กับข้อมูลทั้งหมด..... | 200 |
| ตารางที่ จ.3 ผลการทดสอบหากำลังรับน้ำหนักของเสาเข็มเจาะ..... | 200 |
| ตารางที่ จ.4 ผลการทดสอบหากำลังรับน้ำหนักของเสาเข็มเจาะ กับข้อมูลทั้งหมด..... | 200 |
| ตารางที่ ฉ.1 แบบจำลองสำหรับสร้าง load-settlement curve..... | 202 |
| ตารางที่ ฉ.2 สรุปค่า R^2 สำหรับแบบจำลองสร้างกราฟ load-settlement curve..... | 203 |
| ตารางที่ ฉ.3 แบบจำลองสำหรับสร้าง load-settlement curve..... | 207 |
| ตารางที่ ฉ.4 สรุปค่า R^2 สำหรับแบบจำลองสร้างกราฟ load-settlement curve..... | 207 |



รูป

หน้า

รูปที่ 2.1 Adhesion factor สำหรับ sand และ gravel stiff to

very stiff cohesive soils (Tomlinson, 1970)..... 7

รูปที่ 2.2 Adhesion factor สำหรับ stiff to very stiff clay

without overlying strata (Tomlinson, 1970)..... 8

รูปที่ 2.3 ค่าของ Z_c/d และ $K_s \tan\phi'$ สำหรับเข็มในชั้นทราย (Poulos and Davis 1980)..... 10

รูปที่ 2.4 Bearing capacity factor for circular deep foundation in sand..... 11

รูปที่ 2.5 ความสัมพันธ์ระหว่าง N_q และ ϕ° 12

รูปที่ 2.6 ความสัมพันธ์ระหว่าง SPT N value กับ angle of shearing resistance..... 13

รูปที่ 2.7 Correction เนื่องจาก effective overburden pressure ที่มีต่อ SPT..... 13

รูปที่ 2.8 ความสัมพันธ์ระหว่าง Coefficient of earth pressure K_s และ
angle of internal friction ϕ' (Meyerhof, 1976)..... 14

รูปที่ 2.9 Davisson's method..... 23

รูปที่ 2.10 Chin's method..... 24

รูปที่ 2.11 De Beer's method..... 25

รูปที่ 2.12 Brinch Hansen 90% method..... 26

รูปที่ 2.13 Brinch Hansen 80% method..... 27

รูปที่ 2.14 Mazurkiewicz's method..... 28

รูปที่ 2.15 Fuller&Hoy's method และ Butler&Hoy's method..... 29

| รูป | หน้า |
|---|------|
| รูปที่ 2.16 Van der Veen's method..... | 30 |
| รูปที่ 3.1 เซลล์ประสาทของสิ่งมีชีวิต..... | 37 |
| รูปที่ 3.2 เซลล์ประสาทเทียม..... | 37 |
| รูปที่ 3.3 Threshold หรือ Step function..... | 39 |
| รูปที่ 3.4 Liner function..... | 39 |
| รูปที่ 3.5 Sigmoid function..... | 40 |
| รูปที่ 3.6 Tangent sigmoid function..... | 40 |
| รูปที่ 3.7 Sigmoid function ในค่าความชัน (w) แตกต่างกัน..... | 41 |
| รูปที่ 3.8 Feedforward network (Multi-layer perceptron)..... | 42 |
| รูปที่ 3.9 Learning vector quantization network..... | 42 |
| รูปที่ 3.10 CMAC module..... | 43 |
| รูปที่ 3.11 GMDH network..... | 44 |
| รูปที่ 3.12 Hopfield network..... | 45 |
| รูปที่ 3.13 Elman network..... | 45 |
| รูปที่ 3.14 Jordan network..... | 46 |
| รูปที่ 4.1 ตัวอย่างกราฟของ Mazurkiewicz แบบเดิม..... | 63 |
| รูปที่ 4.2 ตัวอย่างกราฟของวิชี Mazurkidwicz ที่ใช้โปรแกรมของ ว.ส.ท..... | 63 |
| รูปที่ 4.3 ตัวอย่างภาพ static load test ที่ test จนถึงจุดวินติ..... | 64 |
| รูปที่ 4.4 ตัวแปรสำหรับแบบจำลองโครงข่ายไปประสาทเทียม..... | 66 |

| | |
|--|------|
| รูป | หน้า |
| รูปที่ 4.5 ตัวแปรสำหรับแบบจำลองโครงข่ายใช้ประสาทเทียมสำหรับเสาเข็มตอก..... | 67 |
| รูปที่ 4.6 ตัวแปรสำหรับแบบจำลองโครงข่ายใช้ประสาทเทียมสำหรับเสาเข็มเจาะ..... | 69 |
| รูปที่ 4.7 โครงสร้างแบบจำลองโครงข่ายใช้ประสาทเทียมสำหรับ | |
| วิเคราะห์หากำลังรับน้ำหนักของเสาเข็มตอก..... | 71 |
| รูปที่ 4.8 BP Tan-Sig (10-1) Epoch = 1000 (Training) และ (Testing)..... | 73 |
| รูปที่ 4.9 BP Tan-Sig (20-1) Epoch = 1000 (Training) และ (Testing)..... | 73 |
| รูปที่ 4.10 BP Tan-Sig (30-1) Epoch = 1000 (Training) และ (Testing)..... | 74 |
| รูปที่ 4.11 BP Tan-Sig (10-10-1) Epoch = 1000 (Training) และ (Testing)..... | 74 |
| รูปที่ 4.12 BP Tan-Sig (20-20-1) Epoch = 1000 (Training) และ (Testing)..... | 75 |
| รูปที่ 4.13 BP Tan-Sig (30-30-1) Epoch = 1000 (Training) และ (Testing)..... | 75 |
| รูปที่ 4.14 BP Tan-Sig (10-1) Epoch = 2000 (Training) และ (Testing)..... | 76 |
| รูปที่ 4.15 BP Tan-Sig (20-1) Epoch = 2000 (Training) และ (Testing)..... | 76 |
| รูปที่ 4.16 BP Tan-Sig (30-1) Epoch = 2000 (Training) และ (Testing)..... | 77 |
| รูปที่ 4.17 BP Tan-Sig (10-10-1) Epoch = 2000 (Training) และ (Testing)..... | 77 |
| รูปที่ 4.18 BP Tan-Sig (20-20-1) Epoch = 2000 (Training) และ (Testing)..... | 78 |
| รูปที่ 4.19 BP Tan-Sig (30-30-1) Epoch = 2000 (Training) และ (Testing) | 78 |

รูปที่ 4.20 BP Tan-Sig (10-1) Epoch = 3000 (Training) และ (Testing)..... 79

รูปที่ 4.21 BP Tan-Sig (20-1) Epoch = 3000 (Training) และ (Testing)..... 79

รูปที่ 4.22 BP Tan-Sig (30-1) Epoch = 3000 (Training) และ (Testing)..... 80

รูปที่ 4.23 BP Tan-Sig (10-10-1) Epoch = 3000 (Training) และ (Testing)..... 80

รูปที่ 4.24 BP Tan-Sig (20-20-1) Epoch = 3000 (Training) และ (Testing)..... 81

รูปที่ 4.25 BP Tan-Sig (30-30-1) Epoch = 3000 (Training) และ (Testing) 81

รูปที่ 4.26 ความสัมพันธ์ระหว่าง RMSE กับรอบของการคำนวณใน

กลุ่มชุดข้อมูลสร้างแบบจำลอง..... 83

รูปที่ 4.27 ความสัมพันธ์ระหว่าง RMSE กับรอบของการคำนวณใน

กลุ่มชุดข้อมูลทดสอบแบบจำลอง..... 83

รูปที่ 4.28 ความสัมพันธ์ระหว่าง RMSE กับจำนวนหน่วยประชาที่ใน

กลุ่มชุดข้อมูลสร้างแบบจำลอง..... 84

รูปที่ 4.29 ความสัมพันธ์ระหว่าง RMSE กับจำนวนหน่วยประชาที่ในกลุ่มชุดข้อมูลทดสอบ
แบบจำลอง..... 85

รูปที่ 4.30 BP Tan-Sig (20-20-1) Epoch = 2000 (Training) และ (Testing)..... 86

รูปที่ 4.31 RPROP (20-20-1) Epoch = 2000 (Training) และ (Testing)..... 87

รูปที่ 4.32 Powell-Beale Conjugate (20-20-1) Epoch = 2000 (Training) และ (Testing) ..87

รูปที่ 4.33 Fletcher-Powell Conjugate (20-20-1) Epoch = 2000 (Training)

และ (Testing)..... 88

| | |
|--|------|
| รูป | หน้า |
| รูปที่ 4.34 Polak-Ribiere Conjugate (20–20–1) Epoch = 2000 (Training) และ (Testing)..... | 88 |
| รูปที่ 4.35 Scaled Conjugate Gradient (20–20–1) Epoch = 2000 (Training) และ (Testing)..... | 89 |
| รูปที่ 4.36 Tansig α = 0.10 (20–20–1) Epoch = 2000 (Training) และ (Testing)..... | 91 |
| รูปที่ 4.37 Tansig α = 0.25 (20–20–1) Epoch = 2000 (Training) และ (Testing)..... | 91 |
| รูปที่ 4.38 Tansig α = 0.50 (20–20–1) Epoch = 2000 (Training) และ (Testing)..... | 92 |
| รูปที่ 4.39 Tansig α = 0.75 (20–20–1) Epoch = 2000 (Training) และ (Testing)..... | 92 |
| รูปที่ 4.40 Tansig α = 0.90 (20–20–1) Epoch = 2000 (Training) และ (Testing)..... | 93 |
| รูปที่ 4.41 Tansig α = 1.00 (20–20–1) Epoch = 2000 (Training) และ (Testing)..... | 93 |
| รูปที่ 4.42 Tansig α = 2.00 (20–20–1) Epoch = 2000 (Training) และ (Testing)..... | 94 |
| รูปที่ 4.43 Tansig α = 3.00 (20–20–1) Epoch = 2000 (Training) และ (Testing)..... | 94 |
| รูปที่ 4.44 Tansig α = 4.00 (20–20–1) Epoch = 2000 (Training) และ (Testing)..... | 95 |
| รูปที่ 4.45 Tansig α = 10.00 (20–20–1) Epoch = 2000 (Training) และ (Testing)..... | 95 |
| รูปที่ 4.46 BP Tansig (10–1) Epoch = 1000 (Training) และ (Testing)..... | 97 |
| รูปที่ 4.47 BP Tansig (20–1) Epoch = 1000 (Training) และ (Testing)..... | 97 |
| รูปที่ 4.48 BP Tansig (30–1) Epoch = 1000 (Training) และ (Testing)..... | 98 |
| รูปที่ 4.49 BP Tansig (10–10–1) Epoch = 1000 (Training) และ (Testing)..... | 98 |

สารบัญภาพ(ต่อ)

๙๔

| | |
|--|------|
| รูป | หน้า |
| รูปที่ 4.50 BP Tansig (20-20-1) Epoch = 1000 (Training) และ (Testing)..... | 99 |
| รูปที่ 4.51 BP Tansig (30-30-1) Epoch = 1000 (Training) และ (Testing)..... | 99 |
| รูปที่ 4.52 BP Tansig (10-1) Epoch = 2000 (Training) และ (Testing)..... | 100 |
| รูปที่ 4.53 BP Tansig (20-1) Epoch = 2000 (Training) และ (Testing)..... | 100 |
| รูปที่ 4.54 BP Tansig (30-1) Epoch = 2000 (Training) และ (Testing)..... | 101 |
| รูปที่ 4.55 BP Tansig (10-10-1) Epoch = 2000 (Training) และ (Testing)..... | 101 |
| รูปที่ 4.56 BP Tansig (20-20-1) Epoch = 2000 (Training) และ (Testing)..... | 102 |
| รูปที่ 4.57 BP Tansig (30-30-1) Epoch = 2000 (Training) และ (Testing)..... | 102 |
| รูปที่ 4.58 BP Tansig (10-1) Epoch = 3000 (Training) และ (Testing)..... | 103 |
| รูปที่ 4.59 BP Tansig (20-1) Epoch = 3000 (Training) และ (Testing)..... | 103 |
| รูปที่ 4.60 BP Tansig (30-1) Epoch = 3000 (Training) และ (Testing)..... | 104 |
| รูปที่ 4.61 BP Tansig (10-10-1) Epoch = 3000 (Training) และ (Testing)..... | 104 |
| รูปที่ 4.62 BP Tansig (20-20-1) Epoch = 3000 (Training) และ (Testing)..... | 105 |
| รูปที่ 4.63 BP Tansig (30-30-1) Epoch = 3000 (Training) และ (Testing)..... | 105 |
| รูปที่ 4.64 ความสัมพันธ์ระหว่าง RMSE กับรอบของการคำนวณในกลุ่ม..... | |
| ชุดข้อมูลสร้างแบบจำลอง..... | 107 |
| รูปที่ 4.65 ความสัมพันธ์ระหว่าง RMSE กับรอบของการคำนวณในกลุ่ม..... | |
| ชุดข้อมูลทดสอบแบบจำลอง..... | 107 |

รูป

หน้า

รูปที่ 4.66 ความสัมพันธ์ระหว่าง RMSE กับจำนวนหน่วยประสาทในกลุ่ม

ชุดข้อมูลสร้างแบบจำลอง..... 108

รูปที่ 4.67 ความสัมพันธ์ระหว่าง RMSE กับจำนวนหน่วยประสาทในกลุ่ม

ชุดข้อมูลทดสอบแบบจำลอง..... 109

รูปที่ 4.68 BP Tansig (20-1) Epoch = 2000 (Training) และ (Testing)..... 110

รูปที่ 4.69 RPROP (20-1) Epoch = 2000 (Training) และ (Testing)..... 111

รูปที่ 4.70 Powell-Beale Conjugate (20-1) Epoch = 2000 (Training) และ (Testing)..... 111

รูปที่ 4.71 Fletcher-Powell Conjugate (20-1) Epoch = 2000 (Training) และ (Testing)....112

รูปที่ 4.72 Polak-Ribiere Conjugate (20-1) Epoch = 2000 (Training) และ (Testing)..... 112

รูปที่ 4.73 Scaled Conjugate Gradient (20-1) Epoch = 2000 (Training) และ (Testing).. 113

รูปที่ 4.74 BP Tansig $a=0.10$ (20-20-1) Epoch = 2000 (Training) และ (Testing)..... 114รูปที่ 4.75 BP Tansig $a=0.25$ (20-20-1) Epoch = 2000 (Training) และ (Testing)..... 114รูปที่ 4.76 BP Tansig $a=0.50$ (20-20-1) Epoch = 2000 (Training) และ (Testing)..... 115รูปที่ 4.77 BP Tansig $a=0.75$ (20-20-1) Epoch = 2000 (Training) และ (Testing)..... 115รูปที่ 4.78 BP Tansig $a=0.90$ (20-20-1) Epoch = 2000 (Training) และ (Testing)..... 116รูปที่ 4.79 BP Tansig $a=1.00$ (20-20-1) Epoch = 2000 (Training) และ (Testing)..... 116รูปที่ 4.80 BP Tansig $a=2.00$ (20-20-1) Epoch = 2000 (Training) และ (Testing)..... 117รูปที่ 4.81 BP Tansig $a=3.00$ (20-20-1) Epoch = 2000 (Training) และ (Testing)..... 117รูปที่ 4.82 BP Tansig $a=4.00$ (20-20-1) Epoch = 2000 (Training) และ (Testing)..... 118

| | |
|--|------|
| รูป | หน้า |
| รูปที่ 4.83 BP Tansig a=10.00 (20-20-1) Epoch = 2000 (Training) และ (Testing)..... | 118 |
| รูปที่ 5.1 ผลทดสอบ static load test กับ Engineering news formula..... | 126 |
| รูปที่ 5.2 ผลทดสอบ static load test กับ Janbu's formula..... | 126 |
| รูปที่ 5.3 ผลทดสอบ static load test กับ Hiley's formula..... | 127 |
| รูปที่ 5.4 ผลทดสอบ static load test กับ ANN (20-20) ที่ 2000 รอบการคำนวณ กับข้อมูลผลการทดสอบเสาเข็ม 93 ตัน..... | 128 |
| รูปที่ 5.5 ผลทดสอบ static load test กับ ANN (20-20) ที่ 2000 รอบการคำนวณ กับข้อมูลผลการทดสอบเสาเข็ม 67 ตัน..... | 129 |
| รูปที่ 5.6 ผลทดสอบ static load test กับวิธีคำนวณแบบ static calculation..... | 135 |
| รูปที่ 5.7 ผลทดสอบ static load test กับ ANN (20) รอบการคำนวณที่ 2000 รอบ กับข้อมูลเสาเข็มจำนวน 47 ตัน..... | 136 |
| รูปที่ 5.8 ตัวแปรสำหรับแบบจำลองโครงข่ายไปรษณีย์ที่มีสำหรับเสาเข็มตอก..... | 139 |
| รูปที่ 5.9 BP Tansig (10-1) Epoch = 1000 (Training) และ (Testing)..... | 141 |
| รูปที่ 5.10 BP Tansig (20-1) Epoch = 1000 (Training) และ (Testing)..... | 141 |
| รูปที่ 5.11 BP Tansig (30-1) Epoch = 1000 (Training) และ (Testing)..... | 142 |
| รูปที่ 5.12 BP Tansig (10-10-1) Epoch = 1000 (Training) และ (Testing)..... | 142 |
| รูปที่ 5.13 BP Tansig (20-20-1) Epoch = 1000 (Training) และ (Testing)..... | 143 |
| รูปที่ 5.14 BP Tansig (30-30-1) Epoch = 1000 (Training) และ (Testing)..... | 143 |

| | |
|---|------|
| รูป | หน้า |
| รูปที่ 5.15 BP Tansig (10-1) Epoch = 2000 (Training) และ (Testing)..... | 144 |
| รูปที่ 5.16 BP Tansig (20-1) Epoch = 2000 (Training) และ (Testing)..... | 144 |
| รูปที่ 5.17 BP Tansig (30-1) Epoch = 2000 (Training) และ (Testing)..... | 145 |
| รูปที่ 5.18 BP Tansig (10-10-1) Epoch = 2000 (Training) และ (Testing)..... | 145 |
| รูปที่ 5.19 BP Tansig (20-20-1) Epoch = 2000 (Training) และ (Testing)..... | 146 |
| รูปที่ 5.20 BP Tansig (30-30-1) Epoch = 2000 (Training) และ (Testing)..... | 146 |
| รูปที่ 5.21 BP Tansig (10-1) Epoch = 3000 (Training) และ (Testing)..... | 147 |
| รูปที่ 5.22 BP Tansig (20-1) Epoch = 3000 (Training) และ (Testing)..... | 147 |
| รูปที่ 5.23 BP Tansig (30-1) Epoch = 3000 (Training) และ (Testing)..... | 148 |
| รูปที่ 5.24 BP Tansig (10-10-1) Epoch = 3000 (Training) และ (Testing)..... | 148 |
| รูปที่ 5.25 BP Tansig (20-20-1) Epoch = 3000 (Training) และ (Testing)..... | 149 |
| รูปที่ 5.26 BP Tansig (30-30-1) Epoch = 3000 (Training) และ (Testing)..... | 149 |
| รูปที่ 5.27 BP Tan-Sig (10-10-1) Epoch = 2000 (Training) และ (Testing)..... | 151 |
| รูปที่ 5.28 RPROP (10-10-1) Epoch = 2000 (Training) และ (Testing)..... | 151 |
| รูปที่ 5.29 Powell-Beale Conjugate (10-10-1) Epoch = 2000 (Training) และ (Testing).152 | 152 |
| รูปที่ 5.30 Fletcher-Powell Conjugate (10-10-1) Epoch = 2000 (Training) และ (Testing)..... | 152 |
| รูปที่ 5.31 Polak-Ribiere Conjugate (10-10-1) Epoch = 2000 (Training) และ (Testing)153 | 153 |

| | |
|--|------|
| รูป | หน้า |
| รูปที่ 5.32 Scaled Conjugate Gradient (10–10–1) Epoch = 2000 (Training) และ (Testing)..... | 153 |
| รูปที่ 5.33 Tansig α = 0.10 (10–10–1) Epoch = 2000 (Training) และ (Testing)..... | 155 |
| รูปที่ 5.34 Tansig α = 0.25 (10–10–1) Epoch = 2000 (Training) และ (Testing)..... | 155 |
| รูปที่ 5.35 Tansig α = 0.50 (10–10–1) Epoch = 2000 (Training) และ (Testing)..... | 156 |
| รูปที่ 5.36 Tansig α = 0.75 (10–10–1) Epoch = 2000 (Training) และ (Testing)..... | 156 |
| รูปที่ 5.37 Tansig α = 0.90 (10–10–1) Epoch = 2000 (Training) และ (Testing)..... | 157 |
| รูปที่ 5.38 Tansig α = 1.00 (10–10–1) Epoch = 2000 (Training) และ (Testing)..... | 157 |
| รูปที่ 5.39 Tansig α = 2.00 (10–10–1) Epoch = 2000 (Training) และ (Testing)..... | 158 |
| รูปที่ 5.40 Tansig α = 3.00 (10–10–1) Epoch = 2000 (Training) และ (Testing)..... | 158 |
| รูปที่ 5.41 Tansig α = 5.00 (10–10–1) Epoch = 2000 (Training) และ (Testing)..... | 159 |
| รูปที่ 5.42 Tansig α = 10.00 (10–10–1) Epoch = 2000 (Training) และ (Testing)..... | 159 |
| รูปที่ 5.43 ผลทดสอบ static load test กับ ANN (10–10) ที่ 2000 รอบการคำนวณ กับข้อมูลผลการทดสอบเสาเข็ม 67 ตัน..... | 161 |
| รูปที่ ง.1 โปรแกรมคอมพิวเตอร์ MATLAB v6.1..... | 196 |
| รูปที่ ง.2 ข้อมูลตัวแปรด้านเข้าของแบบจำลอง กรอกข้อมูลโดยใช้ MATLAB..... | 196 |
| รูปที่ ง.3 ตัวโปรแกรมแบบจำลองโครงสร้างข่ายไฟฟ้าที่เขียนจาก MATLAB..... | 197 |
| รูปที่ ง.4 ขณะทำการสร้างแบบจำลองโครงสร้างข่ายไฟฟ้าที่เขียน..... | 197 |

| | |
|---|------|
| รูป | หน้า |
| รูปที่ ๔.๕ ทดสอบแบบจำลองโครงข่ายไปประสาทเทียม..... | 198 |
| รูปที่ ๔.๑ load-settlement curve สร้างจาก ANN ของ Pile1..... | 203 |
| รูปที่ ๔.๒ load-settlement curve สร้างจาก ANN ของ Pile2..... | 204 |
| รูปที่ ๔.๓ load-settlement curve สร้างจาก ANN ของ Pile3..... | 204 |
| รูปที่ ๔.๔ load-settlement curve สร้างจาก ANN ของ Pile4..... | 205 |
| รูปที่ ๔.๕ load-settlement curve สร้างจาก ANN ของ Pile5..... | 205 |
| รูปที่ ๔.๖ load-settlement curve สร้างจาก ANN ของ Pile6..... | 206 |
| รูปที่ ๔.๗ load-settlement curve สร้างจาก ANN ของ Pile1..... | 208 |
| รูปที่ ๔.๘ load-settlement curve สร้างจาก ANN ของ Pile2..... | 208 |
| รูปที่ ๔.๙ load-settlement curve สร้างจาก ANN ของ Pile3..... | 209 |
| รูปที่ ๔.๑๐ load-settlement curve สร้างจาก ANN ของ Pile4..... | 209 |
| รูปที่ ๔.๑๑ load-settlement curve สร้างจาก ANN ของ Pile5..... | 210 |
| รูปที่ ๔.๑๒ load-settlement curve สร้างจาก ANN ของ Pile6..... | 210 |